

## 原位稀土修饰 $\text{Bi}_2\text{MoO}_6$ 高效可见光催化剂

缪应纯<sup>1,3</sup> 潘改芳<sup>2</sup> 霍宇凝<sup>\*,2</sup> 李和兴<sup>\*,1,2</sup>

(<sup>1</sup>华东师范大学化学系, 上海 200062)

(<sup>2</sup>上海师范大学教育部资源化学重点实验室, 上海市稀土功能材料重点实验室, 上海 200234)

(<sup>3</sup>曲靖师范学院化学化工学院, 曲靖 6550011)

**摘要:**采用原位法制备了系列稀土离子修饰的  $\text{Bi}_2\text{MoO}_6$  可见光催化剂并应用于罗丹明 B 的光催化降解,HPLC-MS 显示该反应经脱除乙基的过程形成 5 个中间产物,最后完全矿化。研究表明,Gd<sup>3+</sup>修饰效果最佳,且原位法优于浸渍法,主要归因于 Gd<sup>3+</sup>进入  $\text{Bi}_2\text{MoO}_6$  晶格,形成施主能级,导致能级带隙变窄,不仅有利于可见光活化光催化剂,而且阻碍电子-空穴复合并抑制修饰剂流失,从而提高光催化活性和稳定性。

**关键词:**稀土;  $\text{Bi}_2\text{MoO}_6$ ; 光解; 非均相催化; 合成设计; 有机污染物降解

中图分类号: O611.62; O614.61<sup>+</sup> 文献标识码: A 文章编号: 1001-4861(2014)07-1587-06

DOI: 10.11862/CJIC.2014.256

## In Situ Rare-Earth Doped $\text{Bi}_2\text{MoO}_6$ Visible Light Photocatalyst with Enhanced Activity

MIAO Ying-Chun<sup>1,3</sup> PAN Gai-Fang<sup>2</sup> HUO Yu-Ning<sup>\*,2</sup> LI He-Xing<sup>\*,1,2</sup>

(<sup>1</sup>Department of Chemistry, East China Normal University, Shanghai 200062, China)

(<sup>2</sup>The Education Ministry Key Lab of Resource Chemistry, Shanghai Key Laboratory of RE Functional Materials, Shanghai Normal University, Shanghai 200234, China)

(<sup>3</sup>Faculty of Chemical and Engineering, Key Laboratory of Environment Chemistry, Qujing Normal University, Qujing, Yunnan 655000, China)

**Abstract:**  $\gamma$ - $\text{Bi}_2\text{MoO}_6$  doped with rare earth is expected to promote the photo-induced electron-hole separation and also enhance stability. Herein, we report a series of  $\text{Bi}_2\text{MoO}_6$  visible light photocatalysts doped with various rare-earths and used for photocatalytic degradation of RhB via *in-situ* synthesis. The HPLC-MS results reveal that this reaction begins with de-ethylation process and then is followed by formation of 5 intermediates before finally mineralizing into  $\text{CO}_2$ . The Gd<sup>3+</sup>-modification is superior over other rare-earth and the *in-situ* synthesis is better than traditional impregnation method since the Gd<sup>3+</sup> is incorporated into the  $\text{Bi}_2\text{MoO}_6$  crystal lattice to form donor level, which facilitates photocatalyst activation by visible lights, retards the photo-induced electron-hole recombination, and inhibits the leaching of dopants, leading to an enhanced activity and stability.

**Key words:** rare earths; photolysis; heterogeneous catalysis;  $\text{Bi}_2\text{MoO}_6$ ; synthetic design; degradation of organic pollutant

光催化广泛应用于有机污染物降解,通常使用  $\text{TiO}_2$  光催化剂<sup>[1]</sup>。近年来,非  $\text{TiO}_2$  光催化剂由于可更有效利用可见光而倍受青睐,其中,窄带隙  $\gamma$ - $\text{Bi}_2\text{MoO}_6$ (2.70 eV)由于独特的结构特征和高稳定性,

成为新型光催化材料的研究热点<sup>[2-7]</sup>。提高  $\text{Bi}_2\text{MoO}_6$  光催化活性,关键是抑制光生电子和空穴复合,有报道通过石墨烯复合  $\text{Bi}_2\text{MoO}_6$  可改善电子传输,从而有效抑制光生电子和空穴的复合<sup>[8]</sup>;也有报道金

收稿日期:2014-02-10。收修改稿日期:2014-03-19。

国家自然科学基金(No.21261140333,21237003,21207091),上海市自然科学基金(No.12230706000,11JC1409000,12YZ091)资助项目。

\*通讯联系人。E-mail: Huoyuning@shnu.edu.cn, Hexing-li@shnu.edu.cn, Tel: +86 21 64322272, Fax: +86 21 64322272

属离子修饰通过捕获电子减少光生电子-空穴的复合;稀土(RE)离子修饰不仅能够捕获电子而且提供良好的光生电子转移轨道,有利于抑制光生电子-空穴的复合,同时还能够提高光的利用率,进一步提高光催化活性<sup>[9-15]</sup>。但有关稀土离子修饰Bi<sub>2</sub>MoO<sub>6</sub>今未见报道。本文采用原位和浸渍法制备系列稀土离子修饰的Bi<sub>2</sub>MoO<sub>6</sub>,考察其对罗丹明B(RhB)等有机污染物的可见光催化降解活性,阐述稀土离子的修饰作用机理。

## 1 实验部分

### 1.1 Gd/Bi<sub>2</sub>MoO<sub>6</sub>的合成

按照BMO的合成方法<sup>[16]</sup>进行改进,合成RE/BMO的过程如下:1.7 g Bi(NO<sub>3</sub>)<sub>3</sub>·5H<sub>2</sub>O和0.42 g Na<sub>2</sub>MoO<sub>4</sub>·2H<sub>2</sub>O分别溶解于5.0 mL乙二醇,缓慢滴加含不同量的稀土硝酸盐(RE=Gd、Sm、Yb)的20 mL无水乙醇溶液,搅拌10 min得到澄清溶液,之后转移到50 mL聚四氟乙烯衬不锈钢高压釜中,160 ℃下加热20 h。经冷却、过滤、洗涤、干燥、400 ℃焙烧4 h后即可得到RE/BMO(IS)。其中,投料时n<sub>RE</sub>/n<sub>Mo</sub>分别为0.015、0.020、0.025、0.030和0.035。用含有0.090 g Gd (NO<sub>3</sub>)<sub>3</sub>的无水乙醇溶液等体积浸渍10 g Bi<sub>2</sub>MoO<sub>6</sub>后,经400 ℃焙烧4 h,即得到Gd/BMO(IP)-3。以上实验试剂(分析纯)均为阿拉丁试剂(上海)有限公司生产。

### 1.2 催化剂的表征

采用电感耦合等离子体原子发射光谱(ICP,VISTA-MPX)测定稀土元素的实际含量,X-射线衍射(XRD,Rigaku D/Max-2000)测定催化剂结构,测试条件为: $\lambda=0.154\text{ }18\text{ nm}$ 的Cu K $\alpha$ 辐射为射线源,石墨单色器,40 kV管压,30 mA管流, $4^\circ\cdot\text{min}^{-1}$ 扫描速率。扫描电子显微镜(FESEM,HITACHI S-4800)观察表面形貌,工作电压为3.0 kV。X射线光电子能谱(XPS,Versa Probe PHI 5000)分析表面电子态,测试条件:发射源Al K $\alpha$ (1 486.6 eV),测量时 $1.33\times 10^{-7}\text{ Pa}$ 的分析室压力,46.95 eV的通能。采用污染碳(C1s=284.8 eV)进行校正。紫外可见漫反射光谱仪(Varian Cary 500)来测定光吸收,以高纯BaSO<sub>4</sub>为标准试剂,测试波长为200~800 nm。荧光光谱(Varian Cary-Eclipse 500)检验固体光催化剂的光生电子和空穴复合率,激发波长为390 nm。表面光电压能谱仪(SPS)测定表面光电压能谱以确定表面态的能级,表面光电压能谱仪由单色光源、截光器(SR540)、锁

相放大器(SR830-DSP)组成。单色光源由500 W氘灯和双棱镜单色器(Omini-500)提供。光电池是导电玻璃-样品-导电玻璃组成的夹层结构。用Quantachrome NOVA 4000e测定样品的N<sub>2</sub>吸附/脱附等温线,测试条件:将催化剂加到干燥样品管中,保持温度100 ℃、真空条件下6 h以上,以去除吸附在催化剂表面的杂质,后-196 ℃下进行氮气物理吸附测试。

### 1.3 活性测试

光催化降解在自制的配备不同光源的250 mL光反应器中进行,内含0.10 g催化剂和100 mL有机物水溶液( $10\text{ mg}\cdot\text{L}^{-1}$ ),于30 ℃下匀速搅拌直至达到吸附平衡后开始光催化反应。在给定的时间间隔下,取上层反应液在不同有机物的最大吸收波长处用紫外-可见分光光度计(UV-7504PC)测定吸光度,以计算光催化降解效率,RhB降解过程中的中间产物由液相色谱-质谱(HPLC-MS Agilent 1200)分析确定。测试条件:流动相: $V_{\text{甲醇}}:V_{\text{水}}=20:80$ ;流速:0.8  $\text{mL}\cdot\text{min}^{-1}$ ;色谱柱:Zorbax C18,正电喷雾离子源(+)-ESI,雾化气压力为275.79 kPa,氮气流速为9  $\text{L}\cdot\text{min}^{-1}$ ,雾化器温度为350 ℃,扫描范围: $m/z=50\sim 600$ 。为考察光催化剂寿命,每次反应后将溶液进行离心、催化剂干燥,损失的催化剂用平行实验的样品进行补充,之后进行下一次反应,如此循环测试活性变化。

## 2 结果与讨论

### 2.1 催化剂表征

分别以RE/BMO(IS)和RE/BMO(IP)表示原位和浸渍法合成的稀土修饰Bi<sub>2</sub>MoO<sub>6</sub>,由ICP测稀土负载量、N<sub>2</sub>吸附/脱附等温线(如图S1)测定比表面积( $S_{\text{BET}}$ )如表1。各样品均呈现第IV型吸附等温线,表明具有介孔结构<sup>[17]</sup>。由表1可见,Gd/BMO(IP)-3的 $S_{\text{BET}}$ 略高于BMO,可归因于Gd<sub>2</sub>O<sub>3</sub>的贡献,而RE/BMO (IS)的 $S_{\text{BET}}$ 均显著高于BMO,主要是RE<sup>3+</sup>进入Bi<sub>2</sub>MoO<sub>6</sub>骨架使晶胞膨胀<sup>[18]</sup>,晶粒减小,可由XRD图进一步证实。SEM照片(图1)表明,纯Bi<sub>2</sub>MoO<sub>6</sub>为花球状结构,平均直径为1.5 m。Gd/BMO(IS)-3和Gd/BMO(IP)-3均与纯Bi<sub>2</sub>MoO<sub>6</sub>的形貌相似,表明原位法与浸渍法Gd修饰不改变Bi<sub>2</sub>MoO<sub>6</sub>的晶体生长,其他稀土离子修饰情况相同。

图2的XRD图显示,不同稀土或者不同量Gd修饰的BMO均显示出 $\gamma$ -Bi<sub>2</sub>MoO<sub>6</sub>的特征晶相峰

表 1 不同样品的结构参数

Table 1 Structural parameters of the different catalysts

Catalyst	RE loading / mol%	Crystallite size / nm	$S_{\text{BET}} / (\text{m}^2 \cdot \text{g}^{-1})$	$E_g / \text{eV}$
BMO	0	23.6	19	2.59
Gd/BMO(IS)-1	0.900	21.8	20	2.59
Gd/BMO(IS)-2	1.10	16.6	25	2.57
Gd/BMO(IS)-3	1.60	14.9	29	2.57
Gd/BMO(IS)-4	2.10	14.3	32	2.64
Gd/BMO(IS)-5	2.50	13.1	35	2.67
Gd/BMO(IP)-3	1.60	22.6	21	2.59
Yb/BMO(IS)-3	1.61	16.8	23	2.66
Sm/BMO(IS)-3	1.58	18.3	21	2.64

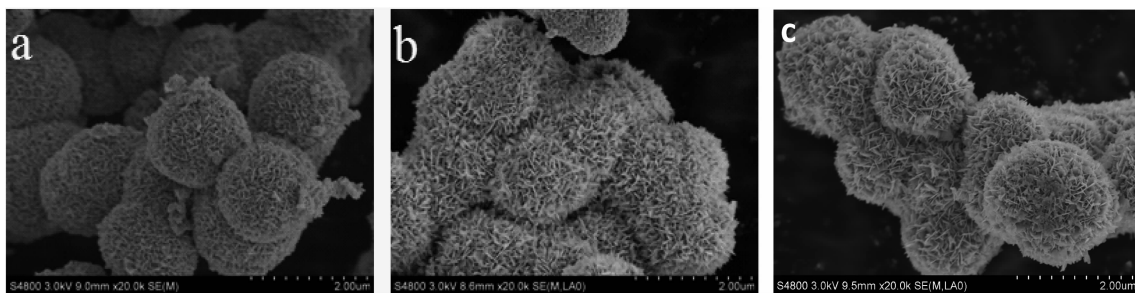


图 1 (a) BMO、(b) Gd/BMO(IS)-3 和(c) Gd/BMO(IP)-3 的 SEM 形貌

Fig.1 SEM images of (a) BMO, (b) Gd/BMO(IS)-3 and (c) Gd/BMO(IP)-3

(PDF No.76-2388), 未观察到杂质晶相(如 Bi<sub>2</sub>O<sub>3</sub>、 $\alpha$ -Bi<sub>2</sub>Mo<sub>3</sub>O<sub>12</sub>、 $\beta$ -Bi<sub>2</sub>Mo<sub>2</sub>O<sub>9</sub>)<sup>[19-20]</sup>, 也未能观察到稀土物种, 可能是由于稀土含量较低且高度分散,Gd/BMO(IS)-3 的成像图也证实各元素均匀分布(图 S2)。在 Gd/BMO(IS)-3 中, 对应于(131)晶面的特征峰发生负移(图 S3), 归因于 Gd<sup>3+</sup>进入 Bi<sub>2</sub>MoO<sub>6</sub>骨架, 导致晶胞膨胀<sup>[10-11,18]</sup>。而 Gd/BMO(IP)-3 的 XRD 图与 Bi<sub>2</sub>MoO<sub>6</sub>相似, 表明 Gd<sup>3+</sup>和 Bi<sub>2</sub>MoO<sub>6</sub>主要分相存在。基于(131)晶面, 根据 Scherrer 方程计算出晶粒尺寸(表 1)显示原位稀土修饰导致 Bi<sub>2</sub>MoO<sub>6</sub>晶粒变小, 间接说明 Gd<sup>3+</sup>

进入 Bi<sub>2</sub>MoO<sub>6</sub>骨架抑制其晶体生长。

图 3 的 XPS 谱表明, 所有样品均在 232.0 和 235.2 eV 处出现对应于 Mo<sup>6+</sup>的特征峰<sup>[19]</sup>, 同时也在 158.6 和 163.9 eV 处观察到对应于 Bi<sup>3+</sup>的特征峰<sup>[21-22]</sup>, 而 Gd 在 1 187.7 eV 的特征峰宽化<sup>[23]</sup>, 归因于含量低和高分散。相对于 BMO 样品, Gd/BMO(IP)-3 中未发现 Bi 特征峰的偏移, 而 Gd/BMO(IS)-3 中 Bi 的特征峰正移, 且其中 O(529.9 eV)的结合能负移<sup>[21]</sup>, 进一步表明 Gd/BMO(IS)-3 中 Gd<sup>3+</sup>进入 Bi<sub>2</sub>MoO<sub>6</sub>的骨架, 而 Gd/BMO(IP)中, Gd<sup>3+</sup>主要以 Gd<sub>2</sub>O<sub>3</sub>的形式分相存在<sup>[9,23]</sup>。

图 4 的 UV-Vis DRS 谱显示, 所有样品在可见区均有较强的光吸收。Gd/BMO (IP)-3 的光吸收与 BMO 相近, 而 Gd/BMO (IS)-3 的光吸收有所增强, 归因于 Gd<sup>3+</sup>进入 Bi<sub>2</sub>MoO<sub>6</sub>骨架, 形成施主能级(如图 5)<sup>[24]</sup>, 导致能级带隙变窄, 另外, Gd/BMO(IS)-3 的光吸收显著强于 Yb/BMO(IS)-3 和 Sm/BMO(IS)-3, 且发生红移, 归因于 Gd<sup>3+</sup>独特的 4f<sup>7</sup>半充满电子结构, 导致能带更窄, 见表 1。另外, 插图荧光光谱(PL)显示, Gd/BMO(IS)-3 在 532 nm 处的特征峰最弱, 表明光生电子与空穴的复合率最低<sup>[25]</sup>, 这是因为具有 4f<sup>7</sup>半充满电子结构的 Gd<sup>3+</sup>进入 Bi<sub>2</sub>MoO<sub>6</sub>骨架, 不仅能

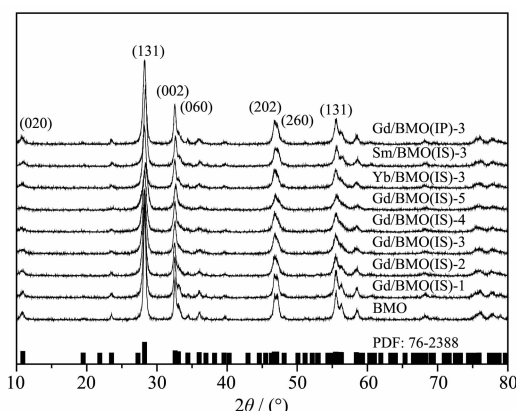


图 2 不同样品的 XRD 图

Fig.2 XRD patterns of different samples

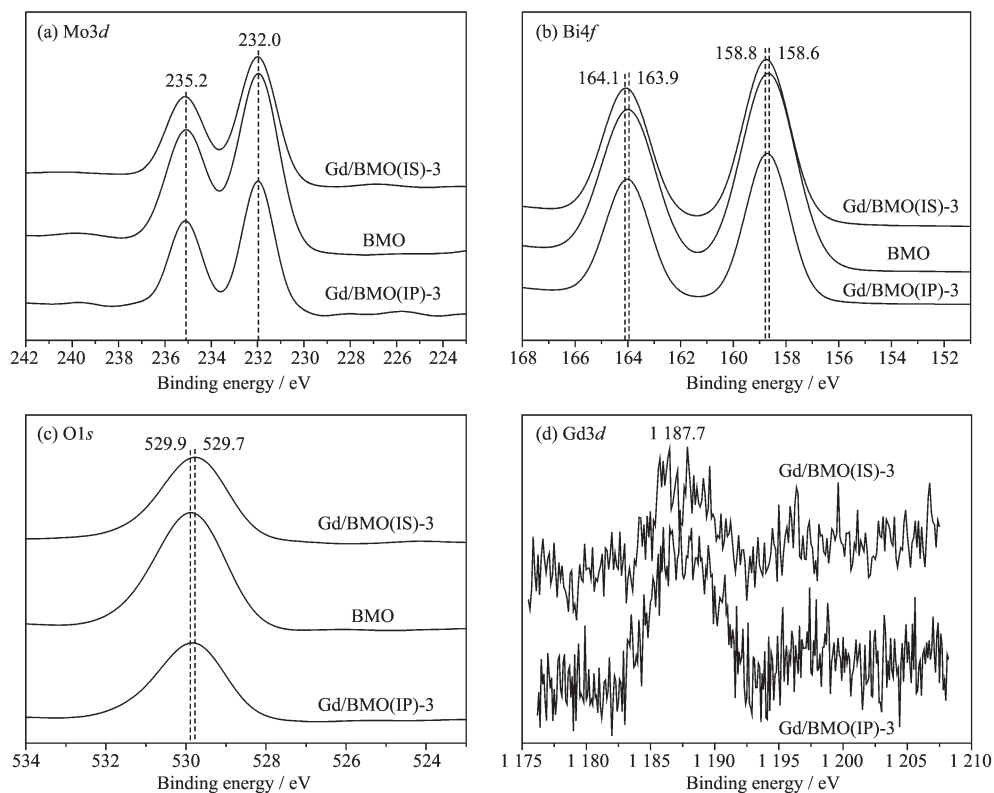


图3 不同样品的XPS

Fig.3 XPS of different samples

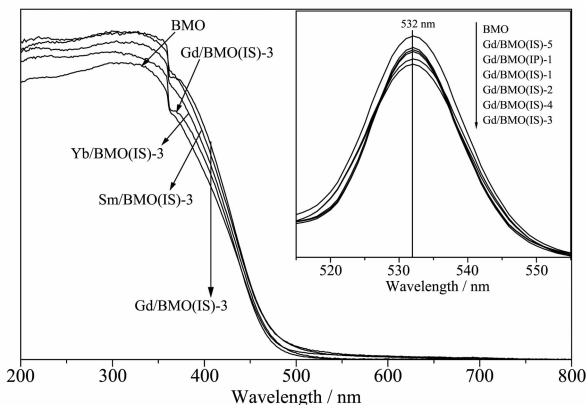


图4 不同样品的UV-Vis DRS谱和PL谱(插图)

Fig.4 UV-Vis DRS and PL spectra (inset) of different samples

够捕获电子,而且能够提供良好的光生电子转移轨道,从而有效抑制光生电子-空穴复合,这也能够解释表面光电压提高(如图S4)<sup>[24]</sup>。Gd<sub>2</sub>O<sub>3</sub>与Bi<sub>2</sub>MoO<sub>6</sub>在表面复合,亦对抑制光生电子和空穴的复合具有一定作用,如图5所示<sup>[13]</sup>。

## 2.2 光催化活性评价

采用染料废水的模型污染物RhB降解为探针,考察可见光催化活性。HPLC-MS分析(图S5)证实

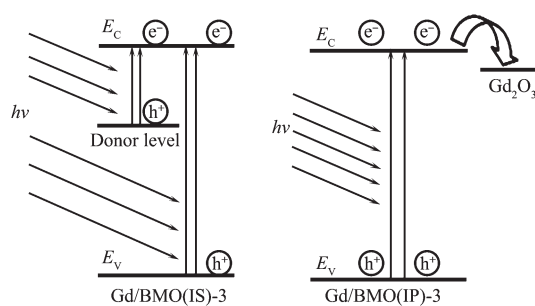
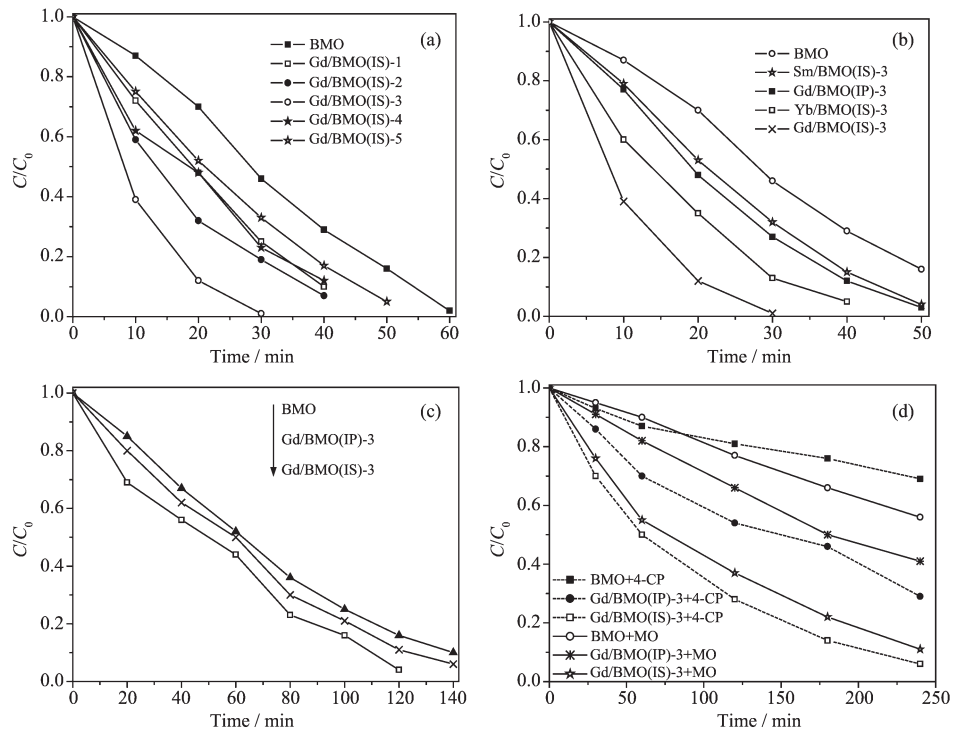


图5 不同样品的能级示意图

Fig.5 Diagram for energy levels in different samples

RhB降解经脱乙基的过程,产生N,N,N'-三乙基罗丹明(TER)、N,N'-二乙基罗丹明(DER<sub>a</sub>)、N,N-二乙基罗丹明(DER<sub>b</sub>)、N-乙基罗丹明(MER)和罗丹明(rhodamine)5种中间体,最终达到完全降解<sup>[26-27]</sup>。

图6a显示,Gd/BMO(IS)的光催化活性随Gd含量增加先升高后降低,Gd/BMO(IS)-3为最佳。图6b进一步表明,Gd/BMO(IS)-3的光催化活性优于相同稀土含量的Gd/BMO(IP)-3、Yb/BMO(IS)-3和Sm/BMO(IS)-3。采用RhB无明显吸收的420 nm光照以及无敏化作用的4-CP和弱敏化作用的MO进行光催化降解(图6c,d),亦得出类似结论,说明Gd修饰



Reaction conditions: 300 W Xe lamp ( $\lambda > 420$  nm) or four 3 W LED lights ( $\lambda=420$  nm),  $T=30$  °C, stirring speed=500 r·min<sup>-1</sup>

图 6 (a, b)  $\lambda > 420$  nm 和(c)  $\lambda=420$  nm 照射下光催化降解 RhB 的进程图,(d)  $\lambda > 420$  nm 照射下光催化降解 4-CP 和 MO 的进程图

Fig.6 RhB photocatalytic degradation under irradiations with (a, b)  $\lambda > 420$  nm and (c)  $\lambda=420$  nm lights. (d) the 4-CP and MO photocatalytic degradation under visible-light irradiations ( $\lambda > 420$  nm)

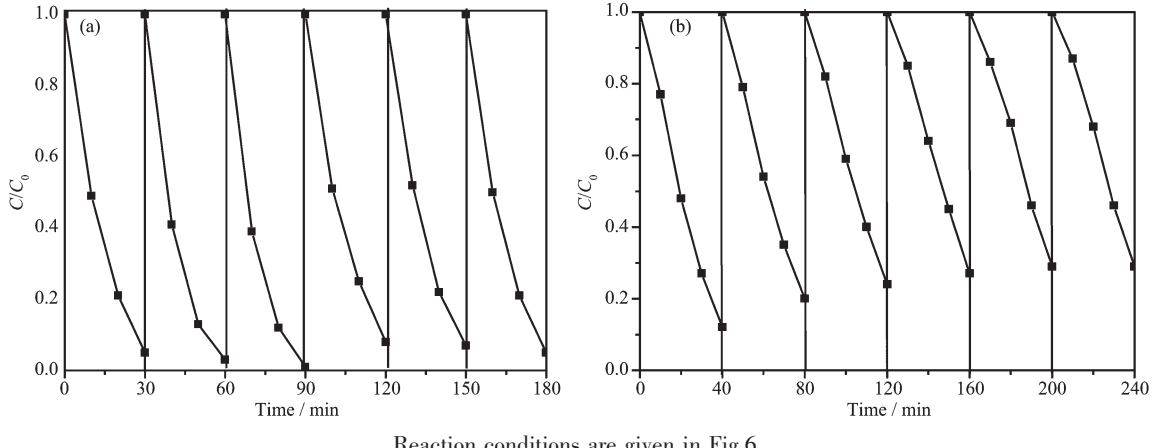


图 7 (a) Gd/BMO(IS)-3 和(b) Gd/BMO(IP)-3 用于光催化降解 RhB 的循环实验

Fig.7 Recycling test of (a) Gd/BMO(IS)-3 and (b) Gd/BMO(IP)-3 in RhB photocatalytic degradation

对光催化活性的影响与染料的敏化作用关系不大。虽然表 1 显示 Gd/BMO (IS) 中 Gd 修饰引起  $S_{\text{BET}}$  增加, 但考虑到具有更大  $S_{\text{BET}}$  的 Gd/BMO(IS)-4 和 Gd/BMO(IS)-5 活性反而不如 Gd/BMO(IS)-3, 因此,  $S_{\text{BET}}$  并非主要因素。Gd-修饰的促进作用主要归因于 Gd<sup>3+</sup>进入 Bi<sub>2</sub>MoO<sub>6</sub> 骨架后形成施主能级, 一方面增

加可见光吸收且更易被可见光激发, 产生更多的光生载流子; 另一方面, 抑制光生电子-空穴复合, 从而提高光催化活性。当 Gd-修饰量过高时, Gd<sup>3+</sup>会形成光生电子-空穴的复合中心, 反而增加其复合率(见图 4 插图), 导致光催化活性下降。Gd/BMO(IP)-3 中的 Gd<sup>3+</sup>主要以 Gd<sub>2</sub>O<sub>3</sub> 分相存在, 虽然不能形成施

主能级,但可以与  $\text{Bi}_2\text{MoO}_6$  形成异质结,起到分离电荷抑制光生电子-空穴复合的作用,因此活性比 BMO 有所提高,但光催化的促进作用不如 Gd/BMO (IS)-3。Yb 和 Sm 的修饰与 Gd 修饰相似,稀土离子均进入  $\text{Bi}_2\text{MoO}_6$  骨架,导致对可见光吸收和激发半导体效率的增加,同时抑制光生电子-空穴复合,从而提高光催化活性,但其对光催化的促进效果不如 Gd 修饰,一方面是 Gd/BMO(IS)-3 的  $S_{\text{BET}}$  大,更重要的是 Gd<sup>3+</sup>独特的  $4f^7$  半充满电子结构,进入  $\text{Bi}_2\text{MoO}_6$  骨架后导致能带更窄,同时,不仅能够捕获电子,而且能够提供良好的光生电子转移轨道,从而有效抑制光生电子-空穴复合,导致光催化活性显著提高。

图 7 显示 Gd/BMO(IS)-3 在 RhB 光催化降解反应中循环 6 次未出现明显的活性降低,而 Gd/BMO (IP)-3 的活性出现连续下降趋势,说明 Gd/BMO(IS)-3 比 Gd/BMO(IP)-3 具有高稳定性,这是由于 Gd<sup>3+</sup>进入  $\text{Bi}_2\text{MoO}_6$  骨架,能够有效抑制其流失,而表面分相的  $\text{Gd}_2\text{O}_3$  容易脱落导致活性下降<sup>[28]</sup>。Gd/BMO(IP)-3 循环实验后 ICP 检测出反应溶液中含有 1.07 mg·L<sup>-1</sup> 的 Gd 元素,证实了 Gd/BMO (IP)-3 表面分相的  $\text{Gd}_2\text{O}_3$  脱落。

### 3 结 论

稀土修饰  $\text{Bi}_2\text{MoO}_6$  能够有效促进可见光催化活性,以 Gd 修饰效果最佳,原位修饰优于浸渍修饰,且稳定性高。主要归因于 Gd<sup>3+</sup>进入  $\text{Bi}_2\text{MoO}_6$  的晶格形成施主能级,能带变窄,有利于提高对可见光的吸收和促进光激发产生光生载流子,且能够抑制光生电子-空穴复合,从而提高光催化活性,同时能够抑制修饰剂流失,提高使用寿命。Gd<sup>3+</sup>修饰优于其他稀土修饰,归因于其独特的  $4f^7$  半充满电子结构,进入  $\text{Bi}_2\text{MoO}_6$  晶格后能带更窄,且更有效抑制光生电子-空穴复合,提高光催化活性。

Supporting information is available at <http://www.wjhxxb.en/wjhxxben/ch/index.aspx>.

### 参考文献:

- [1] He F, Li J, Li T, et al. *Chem. Eng. J.*, **2014**, *237*:312-321
- [2] Shimodaira Y, Kato H, Kobayashi H, et al. *J. Phys. Chem. B*, **2006**, *110*:17790-17797
- [3] Ricote J, Pardo L, Castro A, et al. *J. Solid State Chem.*, **2001**, *160*:54-61
- [4] MAN YI(满毅), ZONG RUI-LONG(宗瑞隆), ZHU YONG-FA(朱永法). *Acta Phys.-Chim. Sin.(物理化学学报)*, **2007**, *23*:1671-1676
- [5] Zhao X, Xu T, Yao W, et al. *Appl. Surf. Sci.*, **2009**, *255*:8036-8040
- [6] Zhang L, Xu T, Zhao X. *Appl. Catal. B*, **2010**, *98*:138-146
- [7] WANG Wen-Zhong(王文中), YIN WEN-ZHONG(尹文宗), SHANG Men(尚萌), et al. *J. Inorg. Mater.(无机材料学报)*, **2012**, *27*:11-18
- [8] Zhou F, Shi R, Zhu Y. *J. Mol. Catal. A: Chem.*, **2011**, *340*:77-82
- [9] Xu A W, Gao Y, Liu H Q. *J. Catal.*, **2002**, *207*:151-157
- [10] Li F B, Li X Z, Hou M F, et al. *Appl. Catal. A*, **2005**, *285*:181-189
- [11] Liang C H, Li F B, Liu C S, et al. *Dyes and Pigm.*, **2008**, *76*:477-484
- [12] Rengaraj S, Venkataraj S, Yeon J W, et al. *Appl. Catal. B*, **2007**, *77*:157-165
- [13] Xu H, Wu C, Li H. *Appl. Surf. Sci.*, **2009**, *256*:597-602
- [14] Cristiana D V, Gianfranco P. *J. Phys. Chem. C*, **2009**, *113*:20543-20552
- [15] El-Bahy Z, Ismail A, Mohamed R. *J. Hazard. Mater.*, **2009**, *166*:138-143
- [16] Tian G, Chen Y, Zhou W, et al. *J. Mater. Chem.*, **2011**, *21*:887-892
- [17] Fang J, Wang F, Qian K, et al. *J. Phys. Chem. C*, **2008**, *112*:18150-18156
- [18] Guo R, Fang L, Dong W, et al. *J. Phys. Chem. C*, **2010**, *114*:21390-21396
- [19] Le M T, Van Craenenbroeck J, Van Driessche I, et al. *Appl. Catal. A*, **2003**, *249*:355-364
- [20] Malathy P, Vignesh K, Rajarajan M, et al. *Ceram. Int.*, **2014**, *40*:101-107
- [21] Zhao X, Qu J, Liu H, et al. *Environ. Sci. Technol.*, **2007**, *41*:6802-6807
- [22] Dai G, Yu J, Liu G. *J. Phys. Chem. C*, **2011**, *115*:7339-7346
- [23] Borchert H, Borchert Y, Kaichev V V, et al. *J. Phys. Chem. B*, **2005**, *109*:20077-20086
- [24] YE Liang-Xiu (叶良修). *Semiconductor Physics: Vol.1. 2nd Edition* (半导体物理学:上册,第二版). Beijing: Higher Education Press, **2007**:77-88
- [25] Xu H, Li H, Xu L, et al. *J. Am. Chem. Soc.*, **2009**, *48*:10771-10778
- [26] Li X, Zhu J, Li H X. *Appl. Catal. B*, **2012**, *123-124*:174-181
- [27] Miao Y C, Pan G F, Huo Y N, et al. *Dyes and Pigm.*, **2013**, *99*:382-389
- [28] Matic K, Kristina Ž, Luka S, et al. *ACS Appl. Mater. Interfaces*, **2013**, *5*:9088-9094